

Electromagnetismo Aplicado

Unidad 1: 4. Métodos de la resolución de las ecuaciones de Poisson y Laplace

Prof. Tomás Cassanelli

Departamento Ingeniería Eléctrica
Universidad de Chile

5 de septiembre de 2023

✉ tcassanelli@ing.uchile.cl

Contenidos

1 Tema pendiente

- Separación de variables en coordenadas esféricas
- Legendre
- Separación en coord. esféricas y solución

2 Método de los momentos

- Descripción

3 Diferencias finitas

- Descripción
- Aplicando el método
- Ejemplo de diferencias finitas
- Aplicaciones del método

4 Resumen Unidad I

5 Bibliografía

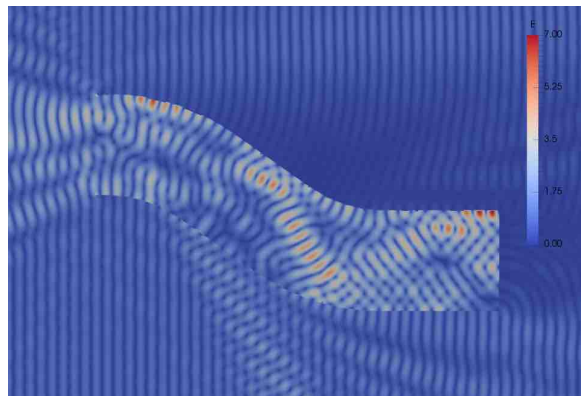


Figura: Simulación de cavidad *cobra* cuando un frente de onda plano choca con este. La solución genera ecuaciones armónicas variables en el tiempo. Escala de color representa E (freefem++).

Pendiente de clase anterior: separación de variables en coord. esféricas

- Coordenadas esféricas, como sabemos el Laplaciano es:

$$\nabla^2 V = \frac{1}{r^2} \frac{\partial}{\partial r} \left(r^2 \frac{\partial V}{\partial r} \right) + \frac{1}{r^2 \sin \theta} \frac{\partial}{\partial \theta} \left(\sin \theta \frac{\partial V}{\partial \theta} \right) + \frac{1}{r^2 \sin^2 \theta} \frac{\partial^2 V}{\partial \phi^2} = 0 \quad (1)$$

- Si asumimos que un problema posee simetría azimutal, i.e., V es independiente de la coordenadas ϕ

$$\Rightarrow \frac{1}{r^2} \frac{\partial}{\partial r} \left(r^2 \frac{\partial V}{\partial r} \right) + \frac{1}{r^2 \sin \theta} \frac{\partial}{\partial \theta} \left(\sin \theta \frac{\partial V}{\partial \theta} \right) = 0 \quad (2)$$

- Ahora asumimos una solución del tipo y evaluamos en $\nabla^2 V$

$$V(r, \theta) = R(r) \Theta(\theta) \quad (3)$$

$$\Rightarrow \frac{1}{R} \frac{d}{dr} \left(r^2 \frac{dR}{dr} \right) + \frac{1}{\Theta \sin \theta} \frac{d}{d\theta} \left(\sin \theta \frac{d\Theta}{d\theta} \right) = 0 \quad (4)$$

Pendiente de clase anterior: separación de variables en coord. esféricas

- Usamos el mismo concepto, ambas ecuaciones deben ser constantes:

$$\frac{1}{R} \frac{d}{dr} \left(r^2 \frac{dR}{dr} \right) = l(l+1), \quad \frac{1}{\Theta \sin \theta} \frac{d}{d\theta} \left(\sin \theta \frac{d\Theta}{d\theta} \right) = -l(l+1) \quad (5)$$

- Donde agregamos una forma conveniente de expresar la constante, ahora con dos ODE, resolvemos:

$$\frac{d}{dr} \left(r^2 \frac{dR}{dr} \right) = l(l+1) R, \quad \Rightarrow R(r) = Ar^l + \frac{B}{r^{l+1}}, \quad (6)$$

$$\frac{d}{d\theta} \left(\sin \theta \frac{d\Theta}{d\theta} \right) = -l(l+1) \Theta \sin \theta, \quad \Rightarrow \Theta(\theta) = P_l(\cos \theta) \quad (7)$$

- Con $P_l(x)$ polinomios de Legendre, se describen mediante la fórmula de Rodrigues¹:

$$P_l(x) = \frac{1}{2^l l!} \left(\frac{d}{dx} \right)^l (x^2 - 1)^l \quad (8)$$

¹Francés y no latino.

Polinomios de Legendre

- La fórmula de Rodrigues solo funciona para $l \in \mathbb{Z}_0^+$

$$P_l(x) = \frac{1}{2^l l!} \left(\frac{d}{dx} \right)^l (x^2 - 1)^l \quad (9)$$

$$P_0(x) = 1 \quad (10)$$

$$P_1(x) = x \quad (11)$$

$$P_2(x) = \frac{1}{2} (3x^2 - 1) \quad (12)$$

$$P_3(x) = \frac{1}{2} (5x^3 - 3x) \quad (13)$$

$$P_4(x) = \frac{1}{8} (35x^4 - 30x^2 + 3) \quad (14)$$

$$P_5(x) = \frac{1}{8} (65x^5 - 70x^3 + 15x) \quad (15)$$

$$(16)$$

Polinomios de Legendre

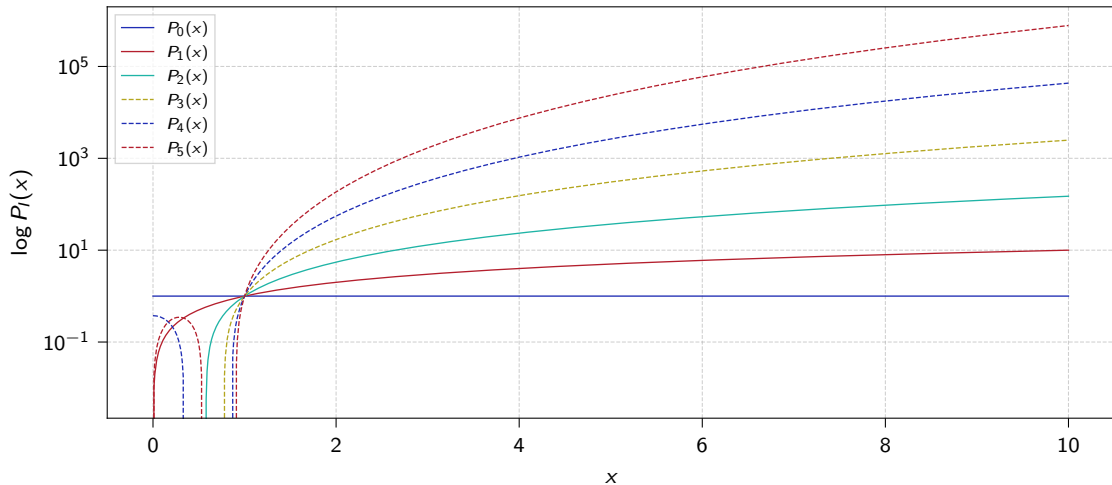


Figura: Polinomios de Legendre.

Separación de variables en coordenadas esféricas

- Para el caso particular nuestro (físico), la solución ecuación (7) va a $\rightarrow \infty$ en los casos de $\theta = 0$ y $\theta = \pi$, por ejemplo la segunda solución para $l = 0$ es

$$\Theta(\theta) = \ln\left(\tan\frac{\theta}{2}\right)$$

- Entonces tenemos que la solución a la ecuación de Laplace (con simetría azimutal) es

$$V(r, \theta) = \left(Ar^l + \frac{B}{r^{l+1}} \right) P_l(\cos\theta) \quad (17)$$

- Nuevamente eso conforma un set de soluciones donde debemos encontrar las constantes A y B , que por supuesto también dependerán de las condiciones de frontera, luego la solución más general corresponde a:

$$V(r, \theta) = \sum_{l=0}^{\infty} \left(A_l r^l + \frac{B_l}{r^{l+1}} \right) P_l(\cos\theta) \quad (18)$$

Método de los momentos

- El método resuelve la ecuación de Poisson mediante una aproximación numérica de la solución integral
- Empezamos asumiendo una función del tipo

$$\rho(x, y, z) = \sum_{i=1}^N \alpha_i \rho_i(x, y, z) \quad (19)$$

- Con α_i constantes a ser determinadas y ρ_i funciones preseleccionadas
- Como sabemos, si poseemos la densidad de carga entonces podemos calcular rápidamente el potencial a través de

$$V(\mathbf{r}) = \frac{1}{4\pi\epsilon} \int \frac{1}{s} \rho(\mathbf{r}') d\tau' \quad (20)$$

- Podemos entonces describir esta ecuación en términos de ρ_i y la nueva variable K_{ij} ,

$$V_j(\mathbf{r}_j) = V(x_j, y_j, z_j) = \sum_{i=1}^N K_{ij} \alpha_i = \sum_{i=1}^N \frac{\alpha_i}{4\pi\epsilon} \int \frac{\rho_i(x', y', z')}{s_{ij}} d\tau', \quad K_{ij} \equiv \frac{1}{4\pi\epsilon} \int \frac{\rho_i(x', y', z')}{s_{ij}} d\tau'$$

Método de los momentos

- Con V_j el potencial de solo una porción o parche, entonces expandiendo tenemos que:

$$V_j = \sum_{i=1}^N \alpha_i \left(\frac{1}{4\pi\epsilon} \int \frac{\rho_i(x', y', z')}{s_{ij}} d\tau' \right) \quad (21)$$

- Con lo que tenemos un sistema de ecuaciones lineal de N ecuaciones con N incógnitas
- El método requiere de una buena elección de la densidad de carga ρ_i ; la cual también debe cumplir con condiciones de borde
- El método es limitado, ya que necesitamos una distribución de carga, que, po lo general puede ser aproximada tomando la diferencia de potenciales vecinos (ver siguiente método FDM)

$$V_1 = K_{11}\alpha_1 + K_{12}\alpha_2 + \cdots + K_{1N}\alpha_N$$

$$V_2 = K_{21}\alpha_1 + K_{22}\alpha_2 + \cdots + K_{2N}\alpha_N$$

$$\vdots$$

$$V_N = K_{N1}\alpha_1 + K_{N2}\alpha_2 + \cdots + K_{NN}\alpha_N$$

Método de los momentos

- El clásico problema usando el método de los momentos es el cálculo de la capacitancia de un capacitor de placas paralelas, i.e., $C = \epsilon A/d$
- Inicialmente dábamos una carga uniforme a cada una de las placas, pero ahora podemos generalizar esto haciendo que la carga Q varíe de punto a punto
- Imaginemos un área pequeña dentro de una de las placas, S , entonces

$$Q = \int_S \rho_S da \quad (22)$$

- Luego debido a la simetría del sistema $C = Q/2V$, luego podemos aproximar a:

$$Q \approx \sum_{i=1}^N \alpha_i \Delta a_i \quad (23)$$

- Como sabemos que el potencial para cada una de las placas debe cumplir con ecuación (21)

Método de los momentos

- Entonces como usamos simetría de las placas se tiene que:

$$V_1 = \dots = V_n = +V, \quad V_{n+1} = \dots = V_{2n} = -V \quad (24)$$

- Luego podemos escribir todo en términos de una matriz

$$\begin{bmatrix} K_{11} & K_{12} & \dots & K_{1(2n)} \\ K_{21} & K_{22} & \dots & K_{2(2n)} \\ \vdots & \vdots & & \vdots \\ K_{n1} & K_{n2} & \dots & K_{n(2n)} \\ K_{(n+1)1} & K_{(n+1)2} & \dots & K_{(n+1)(2n)} \\ \vdots & \vdots & & \vdots \\ K_{(2n)1} & K_{(2n)2} & \dots & K_{(2n)(2n)} \end{bmatrix} \begin{bmatrix} \alpha_1 \\ \alpha_2 \\ \vdots \\ \alpha_n \\ \alpha_{n+1} \\ \vdots \\ \alpha_{2n} \end{bmatrix} = \begin{bmatrix} +V \\ +V \\ \vdots \\ +V \\ -V \\ \vdots \\ -V \end{bmatrix} = \begin{bmatrix} +1 \\ +1 \\ \vdots \\ +1 \\ -1 \\ \vdots \\ -1 \end{bmatrix} V \quad (25)$$

Diferencias finitas

- Transformamos una PDE (o ODE) a un sistema lineal de ecuaciones
- Cuerpo continuo a una distribución discreta de elementos donde sus elementos son calculables por una simple interpolación
- Diferencias finitas es un método numérico para resolver el problema de Poisson conociendo el potencial en la frontera
- Usando ciertas condiciones también puede aplicarse cuando se conoce E en la frontera
- Para este método solo usaremos coordenadas cartesianas (aunque también es posible realizarlo en otras)
- Pasos del método:
 - 1 **Dividir la región en una malla discreta:** Cada elemento puede ser rectangular, pero los cálculos se facilitan si cada elemento es cuadrado y de lado h
 - 2 **Calcular el valor del potencial en cada nodo de la malla usando la ecuación de Poisson o Laplace y el valor del potencial en los puntos cercanos**

Creando una malla

- Diferencias de los dos métodos clásicos: *Finite Difference Method* (FDM) y *Finite Element Method* (FEM; mecánica de materiales, transferencia de calor, etc)
 - La PDE es aproximada a una diferencia finita (i.e., diferencia entre dos valores de potencial V) y no así por una interpolación de funciones (caso de FEM)
 - El dominio de una región es representado por un número finito de nodos con un valor de muestra (en vez de un número finito de interpolaciones)
- Pasos para generar FDM:
 - 1 Discretización o subdivisión del dominio de un cuerpo
 - 2 Selección de la función de diferencias finitas (que para nuestro caso es el potencial) para dar una aproximación a las derivadas en un punto desconocido (nodo)
 - 3 Formular un sistema lineal de ecuaciones para cada nodo
 - 4 Resolución del sistema de ecuaciones para cada nodo

Creando una malla

- Mallas pueden ser regulares o irregulares
- La densidad del mallado dependerá del tipo de aplicación que realicemos (i.e., una mayor densidad en un punto de interés del material)

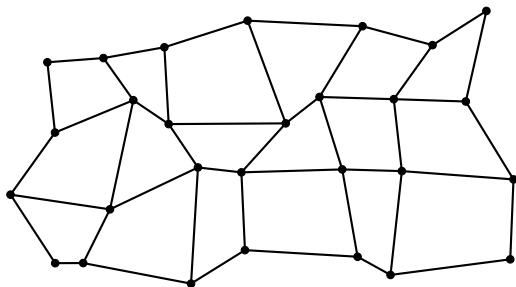


Figura: Malla irregular de material. Puntos negros representan los nodos y polígonos de cuatro son llamados elementos. El sistema total es llamado mallado (o *mesh-grid*).

El principio matemático

- Como construir el metodo data una PDE or ODE
- Queremos entonces aproximar la pendiente de una curva en cierto punto P , para eso podemos usar lo siguiente: *fordward-difference*, *backward-difference*, *central-difference*, o incluso segundas derivadas,

$$f'(x_0) \approx \frac{f(x_0 + \Delta x) - f(x_0)}{\Delta x} \quad (26)$$

$$f'(x_0) \approx \frac{f(x_0) - f(x_0 - \Delta x)}{\Delta x} \quad (27)$$

$$f'(x_0) \approx \frac{f(x_0 + \Delta x) - f(x_0 - \Delta x)}{2\Delta x} \quad (28)$$

$$f''(x_0) \approx \frac{f(x_0 + \Delta x) - 2f(x_0) + f(x_0 - \Delta x)}{(\Delta x)^2} \quad (29)$$

- Cualquier aproximación de este tipo es llamada **diferencia finita**
- Un caso más general es usando expansión de Taylor

El principio matemático

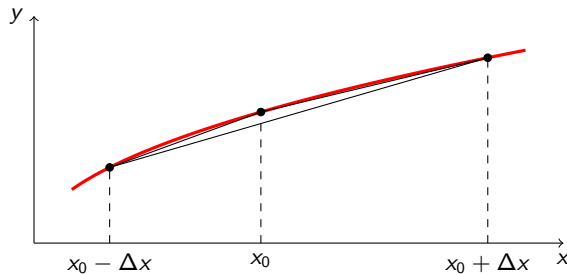


Figura: Estimando la derivada de $y = f(x)$ en un punto P usando *forwards*, *backwards* y diferencia centrales.

El principio matemático

- Expandiendo en torno a x_0

$$f(x_0 + \Delta x) = f(x_0) + \Delta x f'(x_0) + \frac{1}{2!} (\Delta x)^2 f''(x_0) + \frac{1}{3!} (\Delta x)^3 f'''(x) + \dots \quad (30)$$

$$f(x_0 - \Delta x) = f(x_0) - \Delta x f'(x_0) + \frac{1}{2!} (\Delta x)^2 f''(x_0) - \frac{1}{3!} (\Delta x)^3 f'''(x) + \dots \quad (31)$$

- Sumando ambas expansiones ecuaciones (30) y (31),

$$f(x_0 + \Delta x) + f(x_0 - \Delta x) = 2f(x_0) + (\Delta x)^2 f''(x_0) + \mathcal{O}(\Delta x)^4 \quad (32)$$

- Con $\mathcal{O}(\Delta x)^4$ el error que hemos agregado en la serie al momento de truncar su valor
- Luego podemos obtener que (asumiendo $\mathcal{O}(\Delta x)^4 \approx 0$):

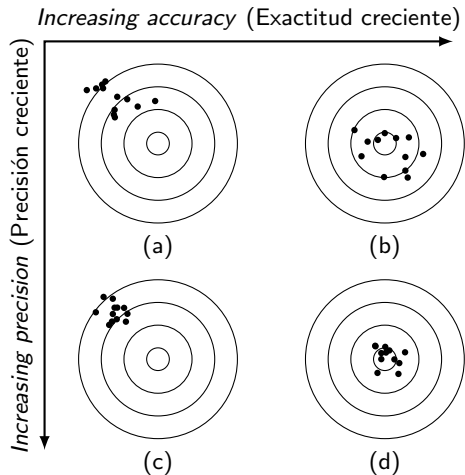
$$f''(x_0) \approx \frac{1}{(\Delta x)^2} [f(x_0 + \Delta x) - 2f(x_0) + f(x_0 - \Delta x)] \quad (33)$$

- Lo que corresponde a la ecuación (29)

El principio matemático

Figura: Precisión y exactitud.

Posibles casos (a) baja precisión y baja exactitud, (b) alta exactitud y baja precisión, (c) baja exactitud y alta precisión, (d) alta precisión y alta exactitud.



Desarrollo del método (un solo material)

- Primero calculamos las derivadas numéricas del potencial respecto a las coordenadas x en el punto medio a

$$\left. \frac{\partial V}{\partial x} \right|_{x=a} \approx \left. \frac{\Delta V}{\Delta x} \right|_{x=a} = \frac{V_0 - V_1}{x_0 - x_1} = \frac{1}{h} (V_0 - V_1) \quad (34)$$

- Similarmente calculamos en c :

$$\left. \frac{\partial V}{\partial x} \right|_{x=c} \approx \frac{1}{h} (V_3 - V_0)$$

- Con los valores en a y c , podemos entonces calcular la segunda derivada en el punto $x = 0$

$$\left. \frac{\partial^2 V}{\partial x^2} \right|_{x=0} \approx \frac{1}{h^2} [(V_3 - V_0) - (V_0 - V_1)] \quad (35)$$

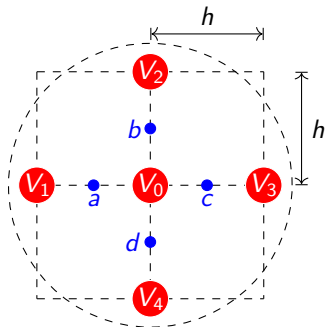


Figura: Cálculo de potencial en cada punto de la malla usando valores de puntos cercanos. Los puntos a, b, c, d son puntos medios entre los valores conocidos de potencial V_i , con $i = 0, 1, 2, 3, 4$.

Desarrollo del método (un solo material)

- Eso en la dirección x , en y repetimos la misma mecánica

$$\left. \frac{\partial^2 V}{\partial y^2} \right|_{y=0} \approx \frac{1}{h^2} [(V_4 - V_0) - (V_0 - V_2)] \quad (36)$$

- Luego en el caso de la ecuación de Laplace, el valor de V_0 es:

$$\nabla^2 V = \frac{\partial^2 V}{\partial x^2} + \frac{\partial^2 V}{\partial y^2} = \frac{1}{h^2} (V_1 + V_2 + V_3 + V_4 - 4V_0) = 0 \quad (37)$$

$$V_0 \approx \frac{1}{4} (V_1 + V_2 + V_3 + V_4) \quad (38)$$

- Obviamente la solución varía con el tipo de malla utilizada, pero la solución está dentro de cierta tolerancia
- El tamaño de la malla puede variar a través del espacio modelado
- ecuación (38) es llamada: ecuación *five-point equal arm difference*
- Si las dimensiones de h son distintas en x, y entonces la solución depende del elemento elegido

Desarrollo del método (entre dos dieléctricos)

- A través de la línea punteada tomamos la ley de Gauss para materiales (i):

$$\oint \epsilon \mathbf{E} \cdot d\mathbf{l} = 0 \quad (39)$$

- Y es cero ya que no existe carga encerrada, luego $E = -\nabla V$,

$$\oint \epsilon \mathbf{E} \cdot d\mathbf{l} = \oint \epsilon \nabla V \cdot d\mathbf{l} = \oint \epsilon \frac{\partial V}{\partial n} dl \quad (40)$$

$$= \oint \epsilon \frac{\partial V}{\partial n} dl \quad (41)$$

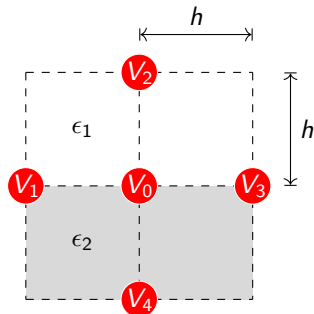


Figura: Cálculo de potencial en cada punto de la malla usando valores de puntos cercanos. Los puntos a, b, c, d son puntos medios entre los valores conocidos de potencial V_i , con $i = 0, 1, 2, 3, 4$.

Desarrollo del método (entre dos dieléctricos)

■ Continuando:

$$\oint \epsilon \frac{\partial V}{\partial n} dl = \frac{V_1 - V_0}{h} \left(\epsilon_1 \frac{h}{2} + \epsilon_2 \frac{h}{2} \right) + \frac{V_2 - V_0}{h} \epsilon_1 h + \frac{V_3 - V_0}{h} \left(\epsilon_1 \frac{h}{2} + \epsilon_2 \frac{h}{2} \right) + \frac{V_4 - V_0}{h} \epsilon_2 h \quad (42)$$

■ Desarrollando:

$$\epsilon_1 V_1 + \epsilon_1 V_2 + (\epsilon_1 + \epsilon_2) V_3 + \epsilon_2 V_4 - 2(\epsilon_1 + \epsilon_2) V_0 \approx 0 \quad (43)$$

$$\Rightarrow V_0 \approx \frac{1}{2(\epsilon_1 + \epsilon_2)} [\epsilon_1 V_1 + \epsilon_1 V_2 + (\epsilon_1 + \epsilon_2) V_3 + \epsilon_2 V_4] \quad (44)$$

Ejemplo de malla

- Resolvemos el problema de la ecuación de Laplace usando ecuación (38)
- Para esto usamos los valores en la frontera, valores conocidos inicialmente
- En este caso iremos de izquierda a derecha y de arriba a abajo
- El orden es arbitrario y el numero de elementos nos da una mejor precisión

Exactitud y estabilidad de la solución FDM

- Existen tres tipos de errores en el análisis numérico de FDM, de los cuales no nos podemos deshacer, estos son:
 - 1 Error de modelado
 - 2 Error de discretización
 - 3 Error de redondeos
- Cada uno de estos errores afectará la exactitud del problema, y por ende, degradarán la solución

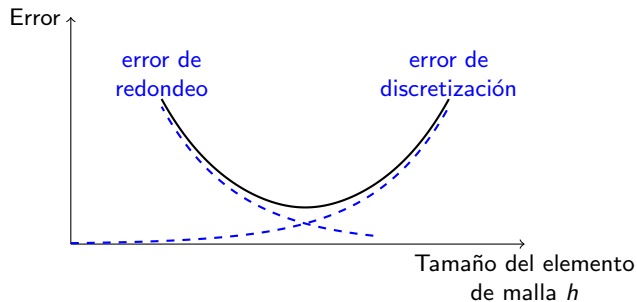


Figura: Error total en función de tamaño de elemento h .

Malla más compleja

Ejercicio

Considere una región rectangular como se muestra en la Figura. Utilice FDM para determinar el potencial y su distribución dentro de la región.

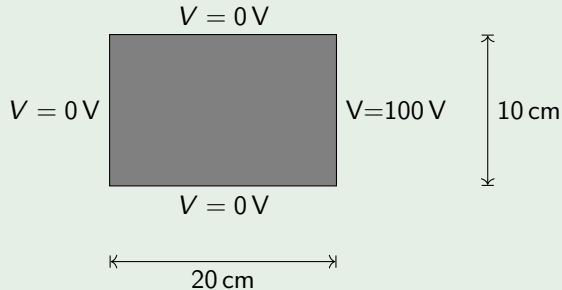
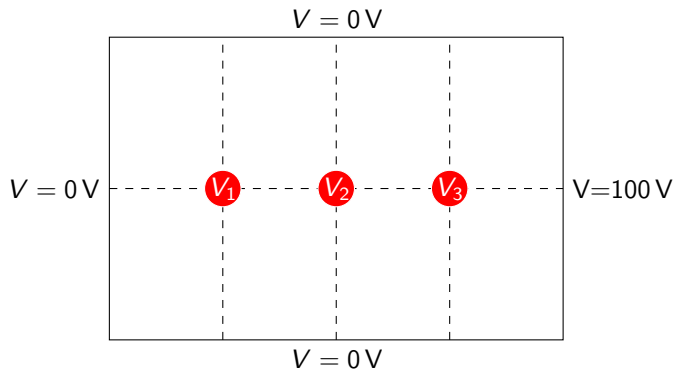


Figura: Geometría rectangular y condiciones de frontera para el potencial eléctrico.

Malla más compleja

- El potencial debe satisfacer en cualquier punto de la región la ecuación de Laplace
- Utilizaremos un $h = 5$ cm, i.e., 8 elementos y una malla de 2×4



Malla más compleja

- Reemplazamos en la ecuación (38) para cada uno de los nodos 1, 2 y 3
- Al realizar esta operación podemos escribirla en forma matricial:

$$4V_1 - V_2 = 0 \quad (45)$$

$$V_1 - 4V_2 + V_3 = 0 \quad (46)$$

$$V_2 - 4V_3 = -100 \quad (47)$$

$$(48)$$

- Es decir:

$$\begin{bmatrix} -4 & 1 & 0 \\ 1 & -4 & 1 \\ 0 & 1 & -4 \end{bmatrix} \begin{bmatrix} V_1 \\ V_2 \\ V_3 \end{bmatrix} = \begin{bmatrix} 0 \\ 0 \\ -100 \end{bmatrix} \quad (49)$$

$$[\mathbf{A}] \mathbf{V} = \mathbf{B} \quad (50)$$

- Con $[\mathbf{A}]$ una matriz y \mathbf{V}, \mathbf{B} vectores
- Lo que se ha transformado en un problema de álgebra lineal y el cual existen múltiples métodos para resolverlo (i.e., valores propios), $\mathbf{V} = [\mathbf{A}]^{-1} \mathbf{B}$

Malla más compleja

- Entonces resolviendo el sistema encontramos que:

$$V_1 = 1,79 \text{ V}, \quad V_2 = 7,14 \text{ V}, \quad V_3 = 26,79 \text{ V} \quad (51)$$

- Notese que con este resultado el problema no es para nada exacto, y solo reduciendo el tamaño de la malla podemos mejorarlo
- Reduciendo a $h = 2,5 \text{ cm}$ generamos 21 elementos!

Cuadro: Comparación en el nivel de error δ del cálculo de FDM. Se analizaron tres muestras de potencial V_9 , V_{11} , y V_{13} , (donde si no existe en la malla de menor resolución se usa el nodo más cercano).

	FDM $h = 5 \text{ cm}$	$\delta(h = 5 \text{ cm})$	FDM $h = 2,5 \text{ cm}$	$\delta(h = 2,5 \text{ cm})$	Resultado analítico
V_9	1,786 V	63 %	1,289 V	17,8 %	1,094 V
V_{11}	7,143 V	30 %	6,019 V	9,7 %	5,489 V
V_{13}	26,786 V	2,7 %	26,289 V	0,75 %	26,094 V

El método y más allá

Ejercicio

Una región rectangular de $6\text{ m} \times 8\text{ m}$ el potencial es exactamente igual a cero en sus cuatro fronteras. La distribución de carga, sin embargo, está dada por $\rho = 2\epsilon_0$. Entonces, resuelva numéricamente la ecuación de Poisson y determine la distribución del potencial en la región rectangular.

Hint: similar a los casos anteriores pero ahora debemos modificar la ecuación (38),

$$\nabla^2 V = -\frac{\rho}{\epsilon_0} = -2. \quad (52)$$

- Sea φ una función cualquiera que describa una variable física, entonces el método puede ser aplicado a una serie de situaciones:
 - PDE de difusión: $k \frac{\partial \varphi}{\partial t} = \frac{\partial^2 \varphi}{\partial x^2}$
 - PDE Helmholtz: $\nabla^2 \varphi + k^2 \varphi = 0$
 - PDE ecuación de onda: $u^2 \frac{\partial^2 \varphi}{\partial x^2} = \frac{\partial^2 \varphi}{\partial t^2}$

El método y más allá

- La historia del método nace del análisis mecánico en particular para estudiar deformación y elasticidad de materiales → FEM²
- La malla no tiene porque ser regular, y más elementos en regiones importantes se realiza comúnmente
- El sistema transforma una PDE en un sistema de ecuaciones lineales, que puede resolverse fácilmente, i.e., un problema de álgebra lineal
- El método también se puede aplicar en electrodinámica, entonces agregamos otras condiciones de borde y nuestra ecuación se vuelve más compleja
- Software industriales usan este método todo el tiempo, donde también es posible agregar dependencia del material y composición
- Existen muchos software libres para esto:
 - *Gmsh: A three-dimensional finite element mesh generator with built-in pre- and post-processing facilities* (Geuzaine & Remacle 2009)
 - *freefem++: A high level multiphysics finite element software* (Hecht 2012)
 - *luamesh*³: L^AT_EX extension to draw mesh grids

²Finite Element Method (Hughes 2012)

³<https://plmlab.math.cnrs.fr/mchupin/luamesh>

El método y más allá

- Ejemplos de otras aplicaciones: ecuación de Navier-Stokes (fluidos), ecuación de Fourier (conducción de calor)

$$\rho \left(\frac{\partial \mathbf{u}}{\partial t} + \mathbf{u} \cdot \nabla \mathbf{u} \right) = -\nabla p + \nabla \cdot \left\{ \mu [\nabla \mathbf{u} + (\nabla \mathbf{u})^T] - \frac{2}{3} \mu [\nabla \cdot \mathbf{u}] \mathbf{I} \right\} + \mathbf{F} \quad (53)$$

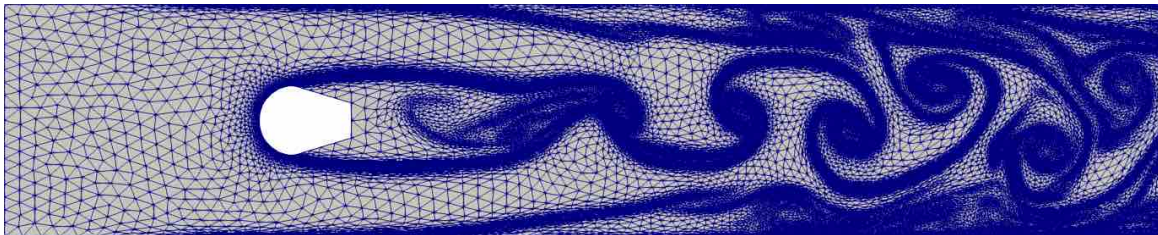
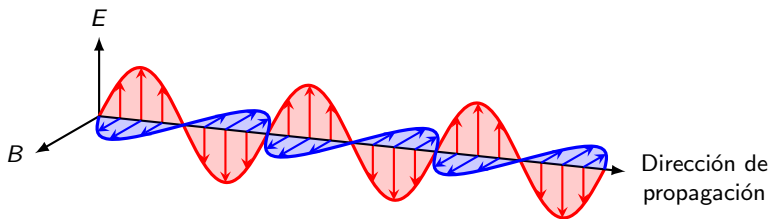


Figura: Ejemplo de malla aplicado en fluidos, donde podemos resolver la Ec.de Navier-Stokes. *Mesh adaptation freefem++*.

Resumen

- Cálculo vectorial → **Clase 0**
- Principios de teoría electromagnética (ecuaciones de Maxwell) → **Clase 1**
- Materiales, sus propiedades e importancia: Conductores → **Clase 2**
- Materiales, sus propiedades e importancia: Dieléctricos → **Clase 3**
- Materiales, sus propiedades e importancia: Materiales magnéticos → **Clase 4**
- Funciones potenciales → **Clase 5**
- Métodos de la resolución de las ecuaciones de Poisson y Laplace → **Clase 6 y 7**
- Próxima clase: 2.1 ecuación de onda para campos eléctrico y magnético → **Clase 8**



Bibliografía

Geuzaine, C., & Remacle, J.-F. 2009, International journal for numerical methods in engineering, 79, 1309

Hecht, F. 2012, J. Numer. Math., 20, 251. <https://freefem.org/>

Hughes, T. J. 2012, The finite element method: linear static and dynamic finite element analysis (Courier Corporation)